

СИНТЕЗ СИСТЕМЫ ПЕРИОДИЧЕСКОГО КОМБИНИРОВАННОГО УПРАВЛЕНИЯ ОДНИМ КЛАССОМ НЕАФФИННЫХ ОБЪЕКТОВ С ЗАПАЗДЫВАНИЯМИ

Е.А. Шеленок

Тихоокеанский государственный университет

Россия, 680035, Хабаровск, Тихоокеанская ул., 136

E-mail: e.a.shelenok@mail.ru

Ключевые слова: неопределенность, неаффинный объект управления, запаздывание по состоянию, запаздывание нейтрального типа, генератор периодических сигналов, критерий гиперустойчивости, генетический алгоритм.

Аннотация: Рассматривается разработка комбинированного регулятора периодической системы управления классом структурно-функционально-параметрически неопределенных неаффинных динамических объектов с запаздыванием по состоянию и запаздыванием нейтрального типа. Главной особенностью представленного решения является процедура полноценного синтеза системы, в рамках которого, во-первых, за счет критерия гиперустойчивости синтезируется структура алгоритмов динамической обратной связи, во-вторых, с использованием генетических алгоритмов выполняется подбор параметров разработанного закона управления.

Пусть движение неаффинного динамического объекта содержащего, запаздывание по состоянию и запаздывание нейтрального типа, описывается с помощью следующей математической модели:

$$\begin{aligned}
 (1) \quad & Q(p)y(t) + D(p)y(t - \tau_1) + C(p)y(t - \tau_2) = \\
 & = G(p) [u(t)F(u(t)) + \varphi(u(t)) + \psi(t)], \\
 & p_i y(v) = \vartheta_i(v), \quad v \in [-\tau_1; 0], \quad p^k y(\phi) = \zeta_k(\phi), \quad \phi \in [-\tau_2; 0], \\
 & p_i y(0) = y_{i0}, \quad i = 0, 1, \dots, (n - 1), \quad k = 1, 2, \dots, n,
 \end{aligned}$$

где $p = d/dt$ – оператор дифференцирования; $y(t), u(t)$ – выходной и управляющий сигналы; $Q(p), D(p), C(p)$ и $G(p)$ – линейные операторы; $\deg Q(p) = \deg C(p) = n$, $\deg D(p) = (n - 1)$, $\deg G(p) = m$; $\tau_1, \tau_2 = const > 0$ – запаздывания времени; $\vartheta_i(v)$ и $\zeta_k(\phi)$ – начальные функции; y_{i0} – начальные условия; $F(u(t)), \varphi(u(t))$ – гладкие нелинейные функции; $\psi(t) = \psi_1(t + \bar{T}) + \psi_2(t)$ – внешние постоянно действующие возмущения, содержащие периодическую и непериодическую составляющие; $\bar{T} = const > 0$ – период.

Для рассматриваемого объекта (1) предполагаются выполненными следующие допущения:

Д1. Операторы $Q(p)$, $D(p)$, $C(p)$ и $G(p)$ имеют следующую структуру:

$$\begin{aligned} Q(p) &= p^n + q_1 p^{(n-1)} + \dots + q_{(n-1)} p + q_n, \\ D(p) &= d_1 p^{(n-1)} + d_2 p^{(n-2)} + \dots + d_{(n-1)} p + d_n, \\ C(p) &= c_0 p^n + c_1 p^{(n-1)} + \dots + c_{(n-1)} p + c_n, \\ G(p) &= g_0 p^m + g_1 p^{(m-1)} + \dots + g_{(m-1)} p + g_m, \end{aligned}$$

где $q_i, d_i = \text{const} > 0$, $i = 1, 2, \dots, n$; $c_j = \text{const}$, $j = 0, 1, \dots, n$; $g_l = \text{const} > 0$, $l = 0, 1, \dots, m$; $n, m = \text{const}$, $n \geq 1$, $n > m \geq 0$ – некоторые коэффициенты и порядки линейных операторов;

Д2. Внешние помехи $\psi(t)$ и нелинейные функции $F(u(t))$, $\varphi(u(t))$ удовлетворяют условиям

$$|\psi_1(t + \bar{T})| \leq \psi_{01}, \quad |\psi_2(t)| \leq \psi_{02}, \quad F(u(t)) \geq F_0, \quad |\varphi(u(t))| \leq \varphi_0,$$

где $\psi_{01}, \psi_{02}, F_0, \varphi_0 = \text{const} > 0$ – неизвестные числа;

Д3. Величина запаздывания τ_1 – неизвестна; запаздывание τ_2 – известно.

Д4. Значения $\max(n)$ и $\min(m)$ а также максимальная относительная степень объекта $\delta^* = \max(n) - \min(m)$ – являются известными;

Д5. Полином $G(s)$, составленный из коэффициентов g_l , является гурвицевым, причем $g_0 > 0$ (s – комплексная переменная преобразования Лапласа);

Д6. Коэффициент полинома

С учетом особенностей рассматриваемого объекта управления (1), по аналогии с [1–3], введем в основной контур системы выходной фильтр-корректор, модель которого представлена в виде

$$(2) \quad y_F(t) = W_F(p)y(t) = \frac{(T_0 p + 1)^{(\delta^*-1)}}{(T_* p + 1)^{(\delta^*-1)}} y(t), \quad (T_* p + 1)^{(\delta^*-1)} y_F(t) = (T_0 p + 1)^{(\delta^*-1)} y(t),$$

где $y(t)$, $y_F(t)$ – соответственно выход и вход фильтра; $W(p)$ – операторная передаточная функция фильтр-корректора; $T_0, T_* = \text{const}$ – постоянные времени фильтра, причем значение T_* – мало.

Учитывая соотношение $(T_* p + 1)^{(\delta^*-1)} = (T_* p + 1)^{(\delta^*-n+m)} (T_* p + 1)^{(n-m-1)}$, а также малое значение параметра T_* , можно получить справедливую оценку: $(T_* p + 1)^{(n-m-1)} \cong 1$ и представить модель объекта (1) с подключенным к его выходу фильтр-корректором (2) следующим образом:

$$(3) \quad \begin{aligned} \hat{Q}(p)y_F(t) + \hat{D}y_F(t - \tau_1) + \hat{C}y_F(t - \tau_2) &\cong \\ &\cong \hat{G}(p)[u(t)F(u(t)) + \varphi(u(t)) + \psi(t)], \end{aligned}$$

где

$$\begin{aligned} \hat{Q}(p) &= Q(p) (T_* p + 1)^{(\delta^*-n+m)} (T_* p + 1)^{(n-m-1)} \cong \\ &\cong (p^n + q_1 p^{(n-1)} + \dots + q_n) (T_* p + 1)^{(\delta^*-n+m)} / T_*^{(\delta^*-n+m)} = \\ &= p^{(\delta^*+m)} + \hat{q}_1 p^{(\delta^*+m-1)} + \dots + \hat{q}_{(\delta^*+m)}, \end{aligned}$$

$$\begin{aligned} \hat{D}(p) &= D(p) (T_* p + 1)^{(\delta^*-n+m)} (T_* p + 1)^{(n-m-1)} \cong \\ &\cong (d_1 p^{(n-1)} + d_2 p^{(n-2)} + \dots + q_n) (T_* p + 1)^{(\delta^*-n+m)} / T_*^{(\delta^*-n+m)} = \\ &= \hat{d}_1 p^{(\delta^*+m-1)} + \hat{d}_1 p^{(\delta^*+m-2)} + \dots + \hat{d}_{(\delta^*+m)}, \end{aligned}$$

$$\begin{aligned}\hat{C}(p) &= C(p) (T_*p + 1)^{(\delta_* - n + m)} (T_*p + 1)^{(n - m - 1)} \cong \\ &\cong (c_0 p^n + c_1 p^{(n-1)} + \dots + c_n) (T_*p + 1)^{(\delta_* - n + m)} / T_*^{(\delta_* - n + m)} = \\ &= \hat{c}_0 p^{(\delta_* + m)} + \hat{c}_1 p^{(\delta_* + m - 1)} + \dots + \hat{c}_{(\delta_* + m)} p,\end{aligned}$$

$$\begin{aligned}\hat{G}(p) &= G(p) (T_*p + 1)^{(\delta_* - n + m)} (T_*p + 1)^{(n - m - 1)} \cong \\ &\cong (g_0 p^m + g_1 p^{(m-1)} + \dots + g_m) (T_*p + 1)^{(\delta_* - n + m)} / T_*^{(\delta_* - n + m)} = \\ &= \hat{g}_0 p^{(\delta_* + m - 1)} + \hat{g}_1 p^{(\delta_* + m - 2)} + \dots + \hat{g}_{(\delta_* + m - 1)}.\end{aligned}$$

При этом модель видоизмененного объекта управления (3) имеет аналог, представленный в форме *вход-состояния-выход*:

$$\begin{aligned}(4) \quad \frac{d\mathbf{x}(t)}{dt} &= \hat{\mathbf{Q}}\mathbf{x}(t) + \hat{\mathbf{D}}\mathbf{x}(t - \tau_1) + \hat{\mathbf{C}} \frac{d\mathbf{x}(t - \tau_2)}{dt} + \\ &+ \mathbf{b} [u(t)F(u(t)) + \varphi(u(t)) + \psi(t)], \quad y_F(t) = \hat{\mathbf{g}}^T \mathbf{x}(t), \\ \mathbf{x}(0) &= \mathbf{x}_0, \quad \mathbf{x}(v) = \boldsymbol{\vartheta}(v), \quad v \in [-\tau_1; 0], \quad \frac{d\mathbf{x}(\phi)}{d\phi} = \frac{d\boldsymbol{\vartheta}(\phi)}{d\phi}, \quad \phi \in [-\tau_2; 0],\end{aligned}$$

where $\mathbf{x}(t) \in \mathbf{R}^{(\delta_* + m)}$; \mathbf{Q} – матрица в форме Фробениуса размера $(\delta_* + m) \times (\delta_* + m)$ и нижней строкой $\hat{\mathbf{q}} = [\hat{q}_{(\delta_* + m)}, \hat{q}_{(\delta_* + m - 1)}, \dots, \hat{q}_1]$; $\hat{\mathbf{D}}$ и $\hat{\mathbf{C}}$ – стационарные матрицы размера $(\delta_* + m) \times (\delta_* + m)$ и нижними строками $\hat{\mathbf{d}} = [\hat{d}_{(\delta_* + m)}, \dots, \hat{d}_2, \hat{d}_1]$, $\hat{\mathbf{c}} = [\hat{c}_{(\delta_* + m)}, \dots, \hat{c}_1, \hat{c}_0]$ соответственно; $\mathbf{b} = [0, \dots, 0, 1] \in \mathbf{R}^{(\delta_* + m)}$; $\hat{\mathbf{g}} = [\hat{g}_{(\delta_* + m - 1)}, \dots, \hat{g}_1, \hat{g}_0] \in \mathbf{R}^{(\delta_* + m)}$.

Требуемое движение объекта управления (1) определим с помощью периодического задающего сигнала $r(t) = r(t + \bar{T})$, где \bar{T} – период изменения. Желаемую динамику выхода основного контура системы $y_F(t)$ сформируем за счет аналогичного (2) задающего фильтр-корректора:

$$(5) \quad \hat{r}(t) = W_F(p)r(t) = \frac{(T_0 p + 1)^{(\delta_* - 1)}}{(T_* p + 1)^{(\delta_* - 1)}} r(t), \quad (T_* p + 1)^{(\delta_* - 1)} \hat{r}(t) = (T_0 p + 1)^{(\delta_* - 1)} r(t).$$

где $\hat{r}(t)$ – некоторый вспомогательный сигнал. В этом случае [2] математическое описание неявной эталонной модели можно представить как

$$(6) \quad y^*(t) = \frac{\chi_* \hat{G}(p)}{(p + \chi_*) \hat{G}(p)} \hat{r}(t) \cong \frac{\hat{\chi}_* \hat{G}(p) \hat{q}_{(\delta_* + m - 1)}}{\hat{Q}(p) + \chi_* \hat{G}(p)} \hat{r}(t) = \frac{\hat{\chi}_* \hat{G}(p) \hat{q}_{(\delta_* + m - 1)}}{\hat{Q}_*(p)} \hat{r}(t),$$

или эквивалентно в векторно-матричном виде:

$$(7) \quad \frac{d\mathbf{x}^*(t)}{dt} = \mathbf{Q}_* \mathbf{x}^*(t) + \mathbf{b} \hat{\chi}_* \hat{r}(t), \quad y^*(t) = \hat{\mathbf{g}}^T \mathbf{x}^*(t), \quad \mathbf{x}^*(0) = 0,$$

где $\mathbf{x}^*(t) = [x_1^*(t), \dots, x_{(\delta_*+m)}^*(t)] \in \mathbf{R}^{(\delta_*+m)}$; \mathbf{Q}_* – матрица размера $(\delta_* + m) \times (\delta_* + m)$, последняя строка которой имеет вид $[\hat{q}_{(\delta_*+m)} - \chi_* \hat{g}_{(\delta_*+m-1)}, \dots, \hat{q}_1 - \chi_* \hat{g}_0]$; $y^*(t)$ – выход эталона; χ_* , $\hat{\chi}_* = const \gg 0$.

Для рассматриваемой системы управления (1) – (7) **требуется решить две задачи**. Во-первых, необходимо обеспечить выполнение *основной цели управления*

$$(8) \quad \lim_{t \rightarrow \infty} |r(t) - y(t)| = \lim_{t \rightarrow \infty} |r(t + \bar{T}) - y(t)| \leq \Delta_r, \quad \Delta_r = const > 0;$$

и, во-вторых, для достижения цели (8) требуется синтезировать закон управления, обеспечивающий достижение *вспомогательной цели управления*:

$$(9) \quad \lim_{t \rightarrow \infty} |y^*(t) - y_F(t)| \cong \lim_{t \rightarrow \infty} |\hat{r} - y_F(t)| \leq \Delta_{\hat{r}}, \quad \Delta_{\hat{r}} = const > 0.$$

Введем в рассмотрение вектор рассогласования состояний неявного эталона (7) и видоизмененного объекта управления (4) $\mathbf{e}(t) = \mathbf{x}^*(t) - \mathbf{x}(t)$, в соответствии с которым математическую модель исследуемой системы представим в следующем виде:

$$(10) \quad \begin{aligned} \frac{d\mathbf{e}(t)}{dt} &= \mathbf{Q}_* \mathbf{e}(t) + \hat{\mathbf{D}} \mathbf{x}(t - \tau_1) + \tilde{\mathbf{C}} \mathbf{x}(t - \tau_2) + \mathbf{b} \mu(t), \quad v(t) = \hat{\mathbf{g}}^T \mathbf{e}(t) = \hat{r}(t) - y_F(t), \\ \mu(t) &= - \left\{ \theta(t) + \chi_* y_F(t) + u(t) F(u(t)) + \varphi(u(t)) + \psi_2(t) + \hat{c}_0 \frac{dx_{\delta_*+m}(t - \tau_2)}{dt} \right\}, \end{aligned}$$

где $\theta(t) = \theta(t + \bar{T}) = \hat{\chi}_* \hat{r}(t) + \psi_1(t)$ – периодический сигнал; $\tilde{\mathbf{C}}$ – матрица размера $(\delta_* + m) \times (\delta_* + m)$, элементы которой – нули за исключением последней строки: $\tilde{\mathbf{c}} = [\hat{\mathbf{c}}_{\delta_*+m}, \dots, \hat{\mathbf{c}}_1, 0]$.

В соответствии с требованиями критерия гиперустойчивости В.М. Попова [4] для эквивалентной системы (10) необходимо выполнить два условия положительности:

$$(11) \quad \begin{aligned} \operatorname{Re} [W_*(j\omega)] &> 0, \quad \forall \omega > 0, \\ \eta(0, t) &= - \int_0^t v(\varsigma) \mu(\varsigma) d\varsigma \geq -\eta_0^2 = const, \quad \forall t > 0, \end{aligned}$$

где $W_*(j\omega)$ – частотный аналог передаточной функции линейной стационарной части системы (10).

Выполнение первого условия является очевидным, поскольку $W_*(s)$ при условии гурвицевости полинома $\hat{\mathbf{Q}}(s)$ и выполнении неравенств $\inf_{\xi \in \Xi} \hat{Q}(j\omega) > \sup_{\xi \in \Xi} \hat{D}(j\omega)$,

$\inf_{\xi \in \Xi} \hat{Q}(j\omega) > \sup_{\xi \in \Xi} \hat{C}(j\omega)$ имеет вид

$$W_*(s) = \hat{\mathbf{g}}^T \left(sE_{(\delta_*+m)} - \mathbf{Q}_* - \hat{\mathbf{D}}e^{-s\tau_1} - \tilde{\mathbf{C}}e^{-s\tau_2} \right)^{-1} \mathbf{b} \cong \frac{\chi_*}{s + \chi_*},$$

где $E_{(\delta_*+m)}$ – единичная матрица соответствующего размера.

С использованием результатов [1–3, 5] можно показать, что справедливость интегрального неравенства из (11) будет обеспечена за счет синтеза закона управления $u(t)$ следующим комбинированным образом:

$$(12) \quad \begin{aligned} u(t) &= (u_1(t - \bar{T}) + \gamma_{11}v(t)) + \gamma_{31} \int_0^t v(\varsigma) d\varsigma + \gamma_{32}v(t) + \\ &+ \gamma_{21} \operatorname{sat}(y_F(t)) \int_0^t \operatorname{sat}(y_F(\varsigma)) v(\varsigma) d\varsigma + \gamma_{22} \operatorname{sat}(y_F(t))^2 v(t) + \\ &+ \gamma_{41} \operatorname{sat}(\dot{x}_{F(\delta_*+m)}(t)) \int_0^t \operatorname{sat}(\dot{x}_{F(\delta_*+m)}(\varsigma)) v(\varsigma) d\varsigma + \gamma_{42} \operatorname{sat}(\dot{x}_{F(\delta_*+m)}(t))^2 v(t), \end{aligned}$$

где $\gamma_1, \gamma_{21}, \gamma_{22}, \gamma_{31}, \gamma_{32}, \gamma_{41}, \gamma_{42} = \text{const} > 0$, значения которых подбираются на этапе имитационного моделирования системы.

В этом случае для эквивалентной (10) и, следовательно, для исходной (1) – (7) систем будет выполнена вспомогательная (9) и основная (8) цели управления.

Для автоматического поиска значений параметров синтезированного регулятора (12) был разработан программный модуль, реализующий работу генетического алгоритма, направленного на достижение критерия качества, относящегося к семейству критериев обобщенной работы: $I = \int_0^t (k_1 u^2(\zeta) + k_2 (r(\zeta) - y(\zeta))^2) d\zeta \rightarrow \min$.

На рис. 1 представлены динамические характеристики системы управления (1) – (7), (12) полученные в ходе одного из вычислительных экспериментов и подтверждающие выполнение целевых условий функционирования.

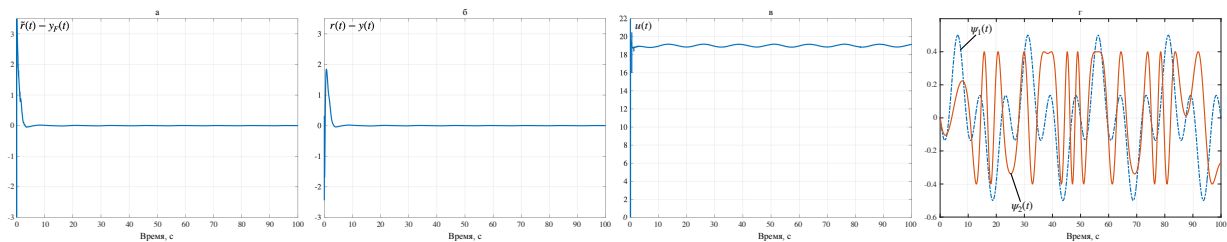


Рис. 1. Ошибка по основному контуру (а), ошибка регулирования (б), сигнал управления (в) и внешние возмущения системы (1) – (7), (12)

Исследование выполнено за счет гранта Российского научного фонда № 23-29-00246, <https://rscf.ru/project/23-29-00246/>.

Список литературы

1. Еремин Е.Л., Шеленок Е.А. Периодическое робастное управление одним классом неаффинных объектов в условиях неопределенности // Датчики и системы. 2023. № 2(267). С. 44–50.
2. Eremin E.L., Nikiforova L.V., Shelenok E.A. Combined Nonlinear System of Control of a Structurally-Parametrically Uncertain Nonaffine Plant with State Delay and Neutral Type Delay // Automation and Remote Control. 2021. Vol. 82, No. 12. P. 2192–2203.
3. Еремин Е.Л., Никифорова Л.В., Шеленок Е.А. Комбинированное нелинейное управление системой перевернутых маятников при ограничении управляющих сигналов // Автометрия. 2021. Т. 57, № 4. С. 74–84.
4. Попов В.М. Гиперустойчивость автоматических систем. М.: Наука, 1970. 456 с.
5. Khalil H. K. Nonlinear Systems. New Jersey: Prentice Hall, 2002.